

# 1 Objetivo

O objetivo final deste texto é chegar a um modelo de uma equação de um problema elástico não-linear unidimensional. Para isso a equação de equilíbrio estático será discretizado via elementos finitos. A malha será constituída de apenas um elemento linear. O problema considerado será semi-estático devido ao passo de carregamento. O tempo será considerado de maneira discreta através de  $t_n = n$  e  $t_{n+1} = n + 1$

A Figura 1 apresenta o problema resolvido. A barra está engastada de parede à esquerda e uma força é aplicada à direita. A geometria da barra é definida pelo comprimento  $L$  e área transversal "A". Para simplificar será considerada uma área unitária.

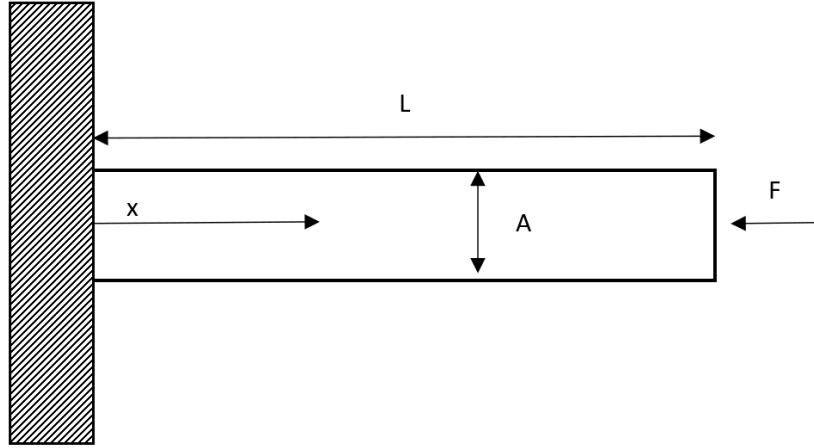


Figure 1: Problema 1D de elasticidade.

## 1.1 Equação de elasticidade 1D

A equação de elasticidade 1D sem forças de corpo é dada por,

$$\frac{\partial \sigma}{\partial x} = 0 \quad (1)$$

onde  $\sigma$  é a tensão uniaxial.

## 1.2 Discretização via elementos finitos

Aplicando o método dos resíduos ponderados na (eq. 1) tem-se,

$$\int_0^L \frac{\partial \sigma}{\partial x} w dL = 0 \quad (2)$$

Considerando a regra do produto para derivadas temos,

$$\frac{\partial(\sigma w)}{\partial x} = \frac{\partial\sigma}{\partial x}w + \frac{\partial w}{\partial x}\sigma \quad (3)$$

E considerando que que,

$$\int_0^L \frac{\partial(\sigma w)}{\partial x} dL = \sigma w|_0^L \quad (4)$$

Logo pode-se escrever a (eq.2) como,

$$\int_0^L \frac{\partial w}{\partial x} \sigma dL = \sigma w|_0^L \quad (5)$$

Considerando apenas um elementos a função de ponderação é dada por,

$$w(x) = N_1(x)w_1 + N_2(x)w_2 \quad (6)$$

Substituindo a função  $w$  na equação (eq. 5),

$$\begin{aligned} \int_0^L \left( \frac{\partial N_1}{\partial x} w_1 + \frac{\partial N_2}{\partial x} w_2 \right) \sigma dL = \\ (N_1(L)w_1 + N_2(L)w_2) \sigma(L, t) - (N_1(0)w_1 + N_2(0)w_2) \sigma(0, t) \end{aligned} \quad (7)$$

Rearranjando os termos temos,

$$\begin{aligned} w_1 \left( \int_0^L \frac{\partial N_1}{\partial x} \sigma dL - N_1(L)\sigma(L, t) + N_1(0)\sigma(0, t) \right) + \\ w_2 \left( \int_0^L \frac{\partial N_2}{\partial x} \sigma dL - N_2(L)\sigma(L, t) + N_2(0)\sigma(0, t) \right) = 0 \end{aligned} \quad (8)$$

Considerando que  $N_1(0) = N_2(L) = 1$  e  $N_1(L) = N_2(0) = 0$ ,

$$w_1 \left( \int_0^L \frac{\partial N_1}{\partial x} \sigma dL + \sigma(0, t) \right) + w_2 \left( \int_0^L \frac{\partial N_2}{\partial x} \sigma dL - \sigma(L, t) \right) = 0 \quad (9)$$

Como  $w_1$  e  $w_2$  são constantes arbitrárias é preciso que,

$$\int_0^L \frac{\partial N_1}{\partial x} \sigma dL + \sigma(0, t) = 0 \quad (10)$$

$$\int_0^L \frac{\partial N_2}{\partial x} \sigma dL - \sigma(L, t) = 0 \quad (11)$$

Definindo  $B_i = \frac{\partial N_i}{\partial x}$ , tem-se

$$\int_0^L B_1 \sigma dL = -\sigma(0, t) \quad (12)$$

$$\int_0^L B_2 \sigma dL = +\sigma(L, t) \quad (13)$$

Agora considerando  $\mathbf{B}^T = [\frac{\partial N_1}{\partial x} \frac{\partial N_2}{\partial x}]$  e  $\mathbf{F}_{ext}^T = [-\sigma(0, t) \sigma(L, t)]$  pode-se escrever,

$$\int_0^L \mathbf{B} \sigma dL = \mathbf{F}_{ext} \quad (14)$$

### 1.3 Relação tensão deformação não incremental

Usando a relação constitutiva

$$\sigma = D(t, u) \varepsilon \quad (15)$$

onde  $D(t, u)$  é o módulo de elasticidade com variação tanto em  $t$  quanto  $x$ .

A relação deslocamento deformação é dada por,

$$\varepsilon = \frac{\partial u}{\partial x} \quad (16)$$

Portanto  $\sigma$  é dado por,

$$\sigma = D(t, u) \left( \frac{\partial N_1}{\partial x} u_1 + \frac{\partial N_2}{\partial x} u_2 \right) = D(t, u) (B_1 u_1 + B_2 u_2) \quad (17)$$

O que pode ser escrito como,

$$\sigma = D(t, u) \mathbf{B}^T \mathbf{u} \quad (18)$$

onde

$$\mathbf{u}^T = [u_1 \ u_2] \quad (19)$$

Substituindo a relação tensão-deformação (eq. 15) nas (eq. 12) e (eq.13),

$$\int_0^L B_1 D(t, u) \varepsilon dL = -\sigma(0, t) \quad (20)$$

$$\int_0^L B_2 D(t, u) \varepsilon dL = \sigma(L, t) \quad (21)$$

Substituindo agora (eq. 17),

$$u_1 \int_0^L B_1 D(t, u) B_1 dL + u_2 \int_0^L B_1 D(t, u) B_2 dL = -\sigma(0, t) \quad (22)$$

$$u_1 \int_0^L B_2 D(t, u) B_1 dL + u_2 \int_0^L B_2 D(t, u) B_2 dL = \sigma(L, t) \quad (23)$$

Definido  $k_{ij}$  e  $f_i$  como

$$k_{ij} = \int_0^L B_i D(t, u) B_j dL \quad (24)$$

Pode-se escrever,

$$\mathbf{K}(t, u) \mathbf{u} = \mathbf{F}_{ext} \quad (25)$$

onde  $\mathbf{K}(t, u)$  indica que a matriz de coeficiente depende explicitamente de  $t$  e  $u$ . Considerando varios passo de carga tem-se,

$$\mathbf{K}_{n+1}(\mathbf{u}_{n+1}) \mathbf{u}_{n+1} = \mathbf{F}_{n+1}^{ext} \quad (26)$$

## 1.4 Relação tensão deformação incremental

Usando a relação constitutiva

$$\dot{\sigma} = Dt(t, u) \dot{\varepsilon} \quad (27)$$

onde  $Dt(t, u)$  é a matriz constitutiva tangente com variação tanto em  $t$  quanto  $x$ .

A  $\sigma$  neste caso precisa ser obtido por integração temporal,

$$\int_{t_0}^{t_1} \dot{\sigma} dt = \int_{t_0}^{t_1} Dt(t, u) \dot{\varepsilon} dt \quad (28)$$

onde  $t_1$  e  $t_0$  são dois intervalos de tempo. Matematicamente, de maneira exata, temos,

$$\sigma(t_1) - \sigma(t_0) = \int_{t_0}^{t_1} d\sigma = \int_{t_0}^{t_1} Dt(t, u) d\varepsilon \quad (29)$$

Usando o teorema do valor médio podemos escrever,

$$Dt(t^*, u) (\varepsilon(t_1) - \varepsilon(t_0)) = \int_{t_0}^{t_1} Dt(t, u) d\varepsilon \quad (30)$$

onde  $D(t^*, u)$ . Para o teorema ser valido  $E(t_0, u)$  tem que ser continua no intervalo fechado  $[t_0 - t_1]$ . Considerando  $t^* = t_1$ , tem-se,

$$\sigma(t_1) = \sigma(t_0) + Dt(t_1, u)(\varepsilon(t_1) - \varepsilon(t_0)) \quad (31)$$

Definindo,

$$\varepsilon(t_1) - \varepsilon(t_0) = \Delta\varepsilon(t_1) \quad (32)$$

e considerando  $t_0 \rightarrow n$  e  $t_1 \rightarrow n + 1$  pode se escrever a tensão discretizada temporalmente como,

$$\sigma_{n+1} = \sigma_n + Dt_{n+1}(u_{n+1}) \Delta\varepsilon_{n+1} \quad (33)$$

A relação entre o incremento de deformação e o incremento de deslocamento é,

$$\varepsilon_{n+1} - \varepsilon_n = B_1 u_1^{n+1} + B_2 u_2^{n+1} - B_1 u_1^n + B_2 u_2^n \quad (34)$$

$$\varepsilon_{n+1} - \varepsilon_n = B_1(u_1^{n+1} - u_1^n) + B_2(u_2^{n+1} - u_2^n) \quad (35)$$

$$\Delta\varepsilon_{n+1} = B_1 \Delta u_1^{n+1} + B_2 \Delta u_2^{n+1} = \mathbf{B}^T \Delta \mathbf{u}_{n+1} \quad (36)$$

com

$$\Delta \mathbf{u}_{n+1}^T = [\Delta u_1^{n+1} \Delta u_2^{n+1}] \quad (37)$$

Logo o incremento de tensão é dado por,

$$\sigma_{n+1} - \sigma_n = Dt_{n+1}(u_{n+1}) \mathbf{B}^T \Delta \mathbf{u}_{n+1} \quad (38)$$

Substituindo a relação tensão-deformação (eq. 15) nas (eq. 12) e (eq. 13),

$$\int_0^L B_1 Dt_{n+1}(u) \Delta\varepsilon_{n+1} dL = - \int_0^L B_1 \sigma_n dL - \sigma(0, t) \quad (39)$$

$$\int_0^L B_2 Dt_{n+1}(u) \Delta\varepsilon_{n+1} dL = - \int_0^L B_2 \sigma_n dL + \sigma(L, t) \quad (40)$$

Usando (eq.17),

$$\begin{aligned} \Delta u_1^{n+1} \int_0^L B_1 Dt_{n+1}(u) B_1 dL + \Delta u_2^{n+1} \int_0^L B_1 Dt_{n+1}(u) B_2 dL = \\ - \int_0^L B_1 \sigma_n dL - \sigma(0, t) \end{aligned} \quad (41)$$

$$\begin{aligned} \Delta u_1^{n+1} \int_0^L B_2 Dt_{n+1}(u) B_1 dL + \Delta u_2^{n+1} \int_0^L B_2 Dt_{n+1}(u) B_2 dL = \\ - \int_0^L B_2 \sigma_n dL + \sigma(L, t) \end{aligned} \quad (42)$$

Com

$$\left( \int_0^L \mathbf{B}^T Dt_{n+1}(u) \mathbf{B} dL \right) \Delta \mathbf{u}_{n+1} = \mathbf{F}_{n+1}^{ext} - \mathbf{F}_n^s \quad (43)$$

onde o vetor  $\mathbf{F}_n^s$  é,

$$\mathbf{F}_n^s = \int_0^L \mathbf{B} \sigma_n dL \quad (44)$$

Definido  $k_{ij}$  como

$$k_{ij} = \int_0^L B_i Dt_{n+1}(u_{n+1}) B_j dL \quad (45)$$

Pode-se escrever,

$$\mathbf{K}_{n+1}(\mathbf{u}_{n+1}) \Delta \mathbf{u}_{n+1} = \mathbf{F}_{n+1}^{ext} - \mathbf{F}_n^s \quad (46)$$

onde  $\mathbf{u}$  é avaliado no tempo  $n + 1$ .

Considerando a aplicação dos passos de 0, 1, 2, ... n, temos,

$$n = 0$$

$$\mathbf{K}_1(\mathbf{u}_1)\Delta\mathbf{u}_1 = \mathbf{F}_1^{ext} - \mathbf{F}_0^s = \mathbf{F}_1^{ext}$$

$$\mathbf{F}_0^s = \int_0^L \mathbf{B}\sigma_0 dL = 0$$

$$\sigma_1 = \sigma_0 + Dt_1(u_1) \mathbf{B}^T \Delta\mathbf{u}_1 = Dt_1(u_1) \mathbf{B}^T \Delta\mathbf{u}_1$$

$$n = 1$$

$$\mathbf{K}_2(\mathbf{u}_2)\Delta\mathbf{u}_2 = \mathbf{F}_2^{ext} - \mathbf{F}_1^s$$

$$\mathbf{F}_1^s = \int_0^L \mathbf{B}\sigma_1 dL = \int_0^L \mathbf{B}Dt_1(u_1) \mathbf{B}^T \Delta\mathbf{u}_1 dL = \mathbf{F}_1^{ext}$$

$$\sigma_2 = \sigma_1 + Dt_2(u_2) \mathbf{B}^T \Delta\mathbf{u}_2 = \sigma_1 + Dt_2(u_2) \mathbf{B}^T \Delta\mathbf{u}_2$$

$$n = 2$$

$$\mathbf{K}_3(\mathbf{u}_3)\Delta\mathbf{u}_3 = \mathbf{F}_3^{ext} - \mathbf{F}_2^s$$

$$\mathbf{F}_2^s = \int_0^L \mathbf{B}\sigma_2 dL = \int_0^L \mathbf{B}Dt_2(u_2) \mathbf{B}^T \Delta\mathbf{u}_2 dL + \int_0^L \mathbf{B}\sigma_1 dL = \mathbf{F}_2^{ext}$$

$$\sigma_3 = \sigma_2 + Dt_3(u_3) \mathbf{B}^T \Delta\mathbf{u}_3 = \sigma_2 + Dt_3(u_3) \mathbf{B}^T \Delta\mathbf{u}_3$$

Por indução matemática pode-se concluir que o sistema 46 é equivalente à,

$$\mathbf{K}_{n+1}(\mathbf{u}_{n+1})\Delta\mathbf{u}_{n+1} = \mathbf{F}_{n+1}^{ext} - \mathbf{F}_n^{ext} = \Delta\mathbf{F}_{n+1}^{ext} \quad (47)$$

Um possibilidade alternativa de se obter a (eq. 47) considere a equação de equilíbrio (eq . 14) nos tempos  $n$  e  $n + 1$ ,

$$\int_0^L \mathbf{B}\sigma_n dL = \mathbf{F}_n^{ext} \quad (48)$$

$$\int_0^L \mathbf{B}\sigma_{n+1} dL = \mathbf{F}_{n+1}^{ext} \quad (49)$$

Subtraindo as equações (48) e (49) chega-se à:

$$\int_0^L \mathbf{B}\Delta\sigma_{n+1} dL = \mathbf{F}_{n+1}^{ext} - \mathbf{F}_n^{ext} = \Delta\mathbf{F}_{n+1}^{ext} \quad (50)$$

Utilizando o incremento de tensão 38 tem-se,

$$\left( \int_0^L \mathbf{B}^T D t_{n+1}(u) \mathbf{B} dL \right) \Delta \mathbf{u}_{n+1} = \Delta \mathbf{F}_{n+1}^{ext} \quad (51)$$

O que leva novamente à,

$$\mathbf{K}_{n+1}(\mathbf{u}_{n+1}) \Delta \mathbf{u}_{n+1} = \Delta \mathbf{F}_{n+1}^{ext} \quad (52)$$

## 1.5 Malha de um elemento

Para a malha de um elemento as condições de contorno o sistema de duas equações se reduzir à,

$$k_{22}^{n+1}(u_2^{n+1}) u_2^{n+1} = (F_2^{ext})^{n+1} \quad (53)$$

Considerando um elemento linear, tem-se,

$$k_{22}^{n+1}(u^{n+1}) = \int_0^L B_2 D_{n+1}(u_{n+1}) B_2 dL = \frac{1}{L} D_{n+1}(u_{n+1}) \quad (54)$$

De maneira simplificada,

$$k_{n+1}(u_{n+1}) u_{n+1} = F_{n+1}^{ext} \quad (55)$$

Já quando se considera a equação constitutiva incremental

$$k_{n+1}^t(u_{n+1}) \Delta u_{n+1} = \Delta F_{n+1}^{ext} \quad (56)$$

onde

$$k_{n+1}^t(u_{n+1}) = \frac{1}{L} D t_{n+1}(u_{n+1}) \quad (57)$$

## 2 Testes

Quatro métodos de solução são considerados, são eles: Linear (Lin); Newton-Raphson (NR); Newton-Raphson incremental (NRI), Newton-Raphson com equação constitutiva incremental (NRCI). Para os testes foi considerado que  $L = 1$ . Quatra casos serão considerado:  $D$  constante;  $D(t)$  variando com o tempo;  $D(u)$  variando com u;  $D(t, u)$  variando com t e u.

A Figura 2 apresenta o carregamento aplicado em todos os casos. O tempo é considerado como valores inteiros.



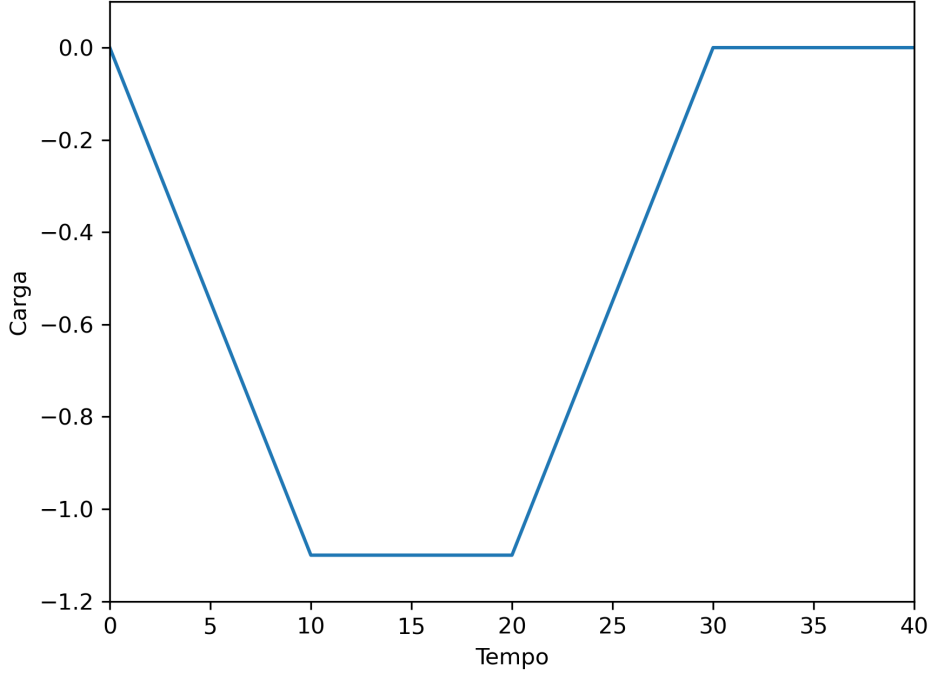


Figure 2: Carregamento variavel no tempo.

## 2.1 Variação da matriz constitutiva

A variação da matriz constitutiva será defina por,

$$D(t, u) = 4g(t)h(u) \quad (58)$$

A variação de  $g(t)$  é dada por,

$$g(t) = \log(10 * (t + 1)) \quad (59)$$

A função  $g(t)$  são valore maiores que 1, portanto aumentam a rigidez. Já a variação de  $h(u)$  é,

$$h(u) = 3.1760|u|^4 - 8.3625|u|^3 + 7.9152|u|^2 - 3.2258|u| + 0.9994 \quad (60)$$

A função  $h(u)$  inicia-se em 1.0 e tente a 0.5 quando  $|u|$  aumenta, portanto diminuem a rigidez.

Iremos forçar que,

$$D(t, u) = Dt(t, u) \quad (61)$$

## 2.2 Caso 1

Neste caso a matriz de coeficientes é constante,

$$D(t, u) = 4.0 \quad (62)$$

A Figura 3 mostra a variação do comprimento da barra. Todos os métodos de solução geram o mesmo resultado

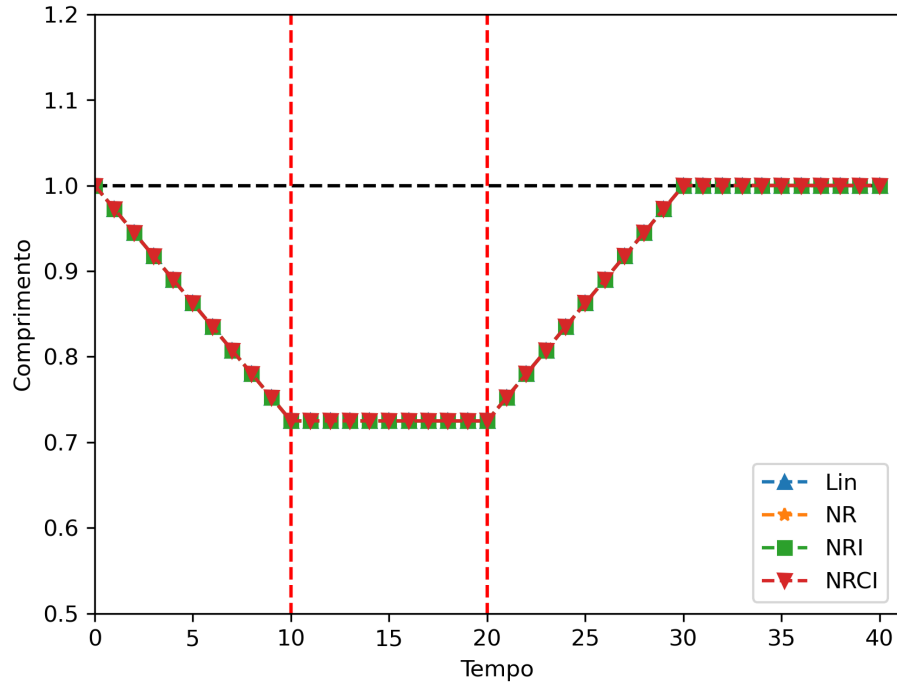


Figure 3: Comprimento da barra ao longo do tempo caso 1.

A Figura 4 a variação da matriz constitutiva, que neste caso é constante.

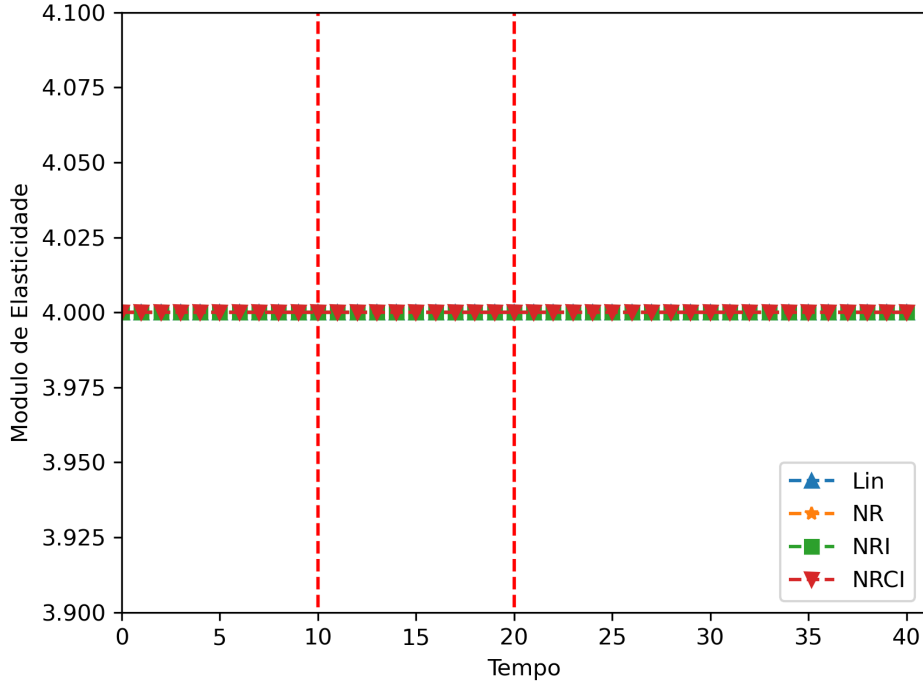


Figure 4: Variação da matriz constitutiva (módulo de elasticidade) ao longo do tempo caso 1.

## 2.3 Caso 2

Neste caso a matriz de coeficientes tem variação temporal dado por,

$$D(t, u) = D(t) = 4g(t) \quad (63)$$

A Figura 5 mostra a variação do comprimento da barra. Os métodos Lin, NR, NRI dão o mesmo resultados, o que é esperado pois  $D(t)$  varia apenas no tempo. Duas coisa chamam a atenção no método NRCI. A primeira é que quando a carga é mantida constante ( $\Delta F^{Ext} = 0$ ) o comprimento da barra não se altera. A segunda é que mesmo quando a carga é zerada o comprimento da barra não volta ao comprimento original, havendo assim uma deformação residual.

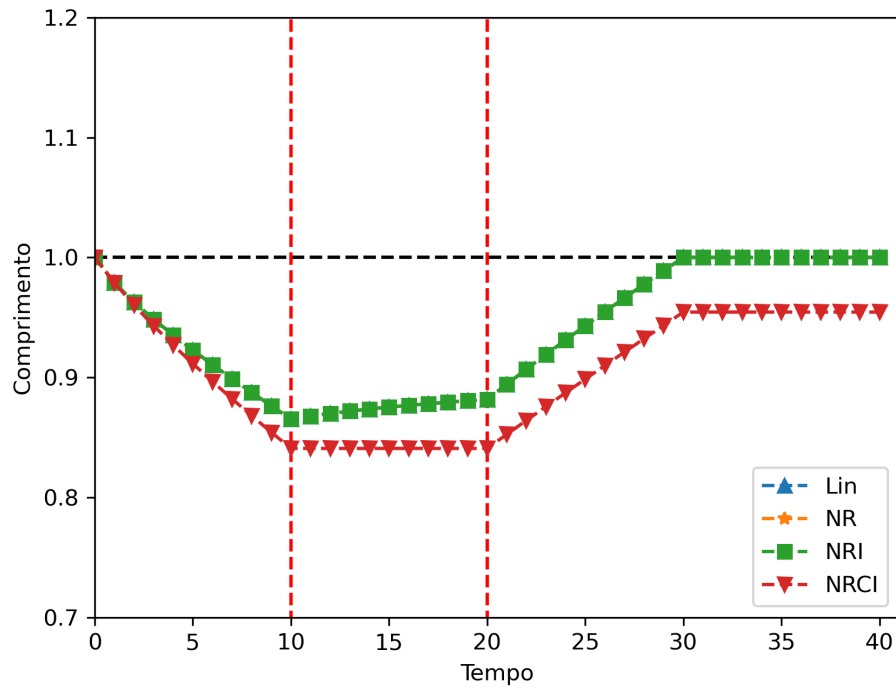


Figure 5: Comprimento da Barra ao longo do tempo caso 2.

A Figura 6 a variação da matriz constitutiva. O modelo de elasticidade aumenta em função do tempo, endurecendo o material. Todos os métodos geram os mesmo resultado com esperado.

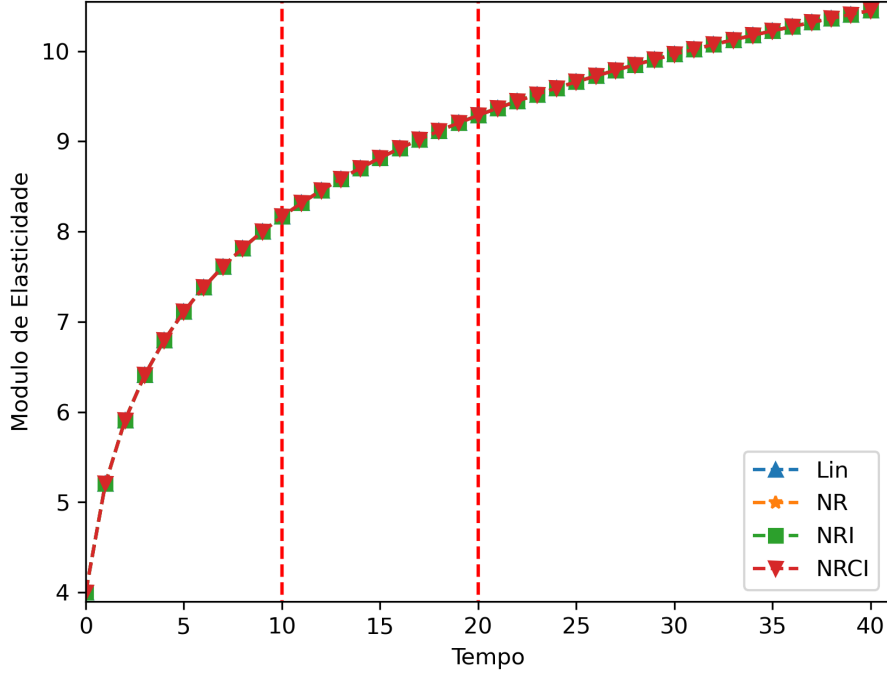


Figure 6: Variação da matriz constitutiva (módulo de elasticidade) ao longo do tempo caso 2.

## 2.4 Caso 3

Neste caso a matriz de coeficientes tem variação em relação ao deslocamento,

$$D(t, u) = D(u) = 4h(u) \quad (64)$$

A Figura 7 mostra a variação do comprimento da barra. Os resultados NR e NRI são iguais. O resultado do Lin está errado pois, isso pode ser confirmado observando que  $F^{ext} - K(u)u \neq 0$  em alguns passos de carga. O que não acontece nos NR, NRI e NRCI, nesse métodos sempre se consegue o equilíbrio ( $F^{ext} - K(u)u = 0$ ). Neste caso é interessante notar que em todos os métodos o comprimento da barra fica constante no intervalo aonde a carga não muda.

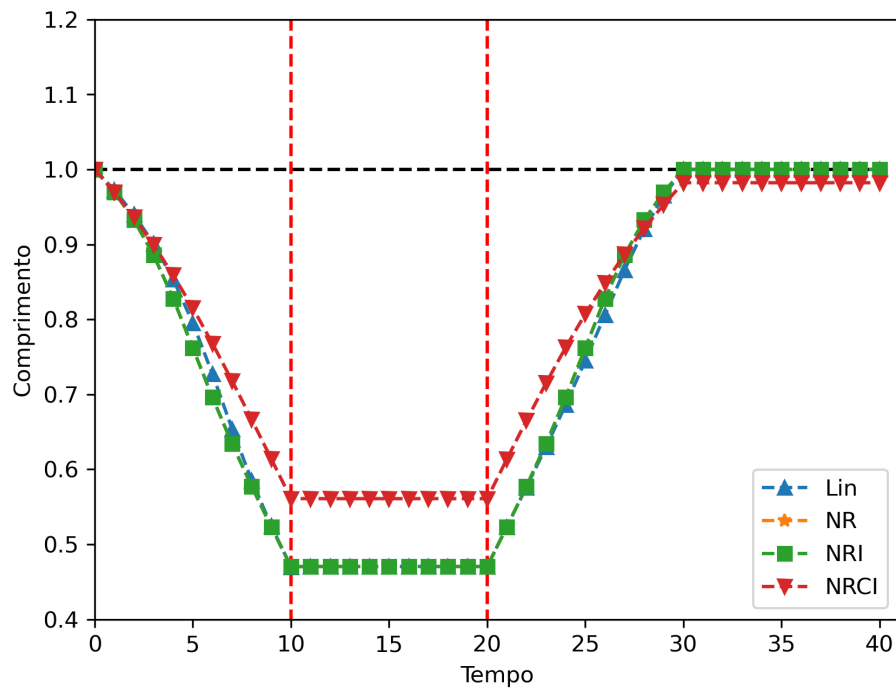


Figure 7: Comprimento da Barra ao longo do tempo caso 3.

A Figura 8 a variação da matriz constitutiva. Novamente os resultados NR e NRI são iguais. O Lin esta erra pois os deslocamentos não satisfazem a equação de equilibrio em alguns passos de carga.

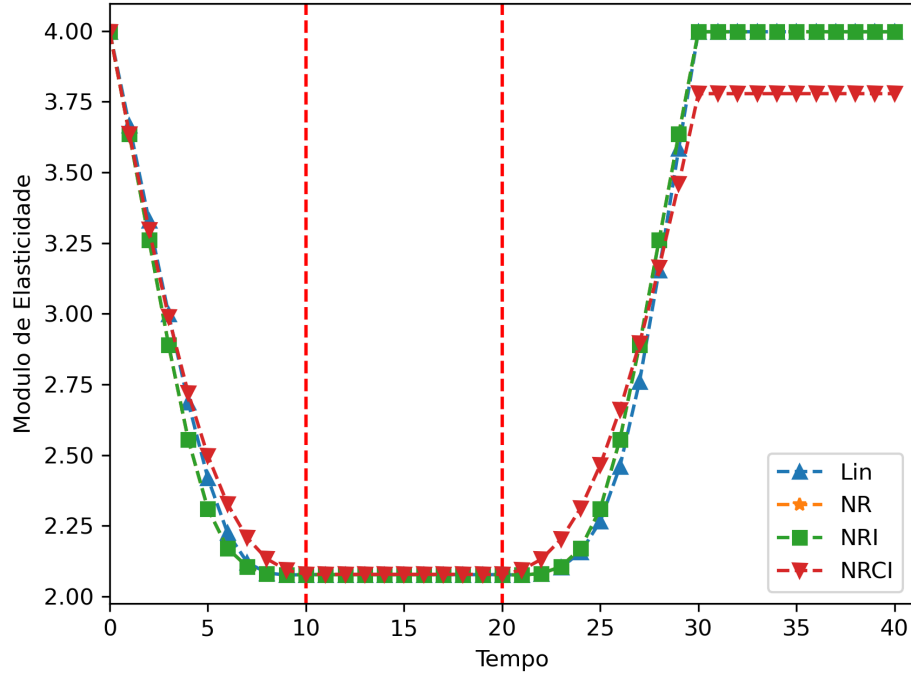


Figure 8: Variação da matriz constitutiva (módulo de elasticidade) ao longo do tempo caso 3.

## 2.5 Caso 4

Neste caso a matriz de coeficientes tem variação em relação ao deslocamento,

$$D(t, u) = 4g(t)h(u) \quad (65)$$

A Figura 9 mostra a variação do comprimento da barra. Novamente as mesmas conclusões. Os resultados NR e NRI são iguais. O Lin está errado. No NRCI o comprimento da barra fica constante quando a carga não muda e no final temos uma deformação residual.

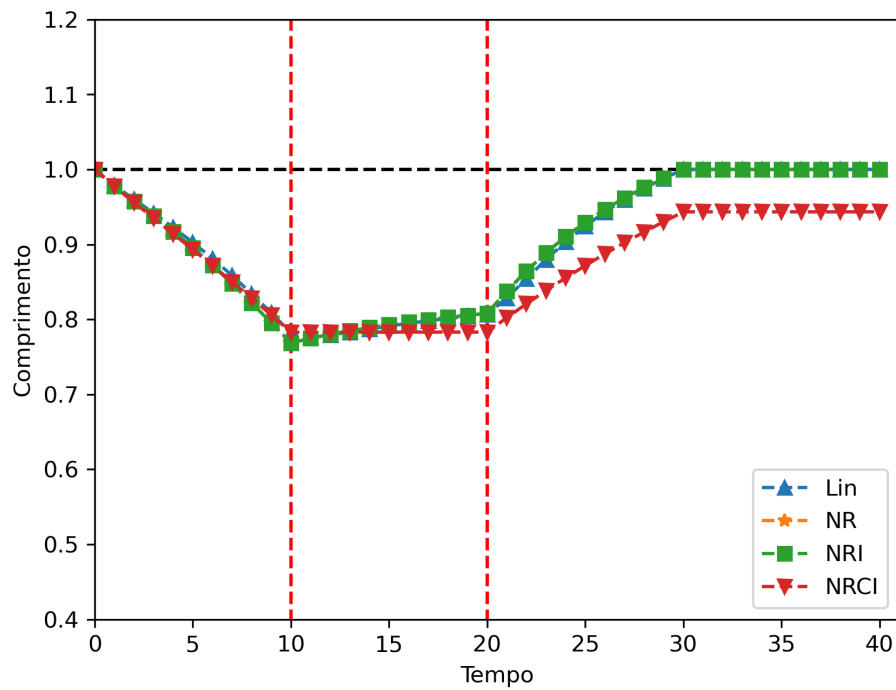


Figure 9: Comprimento da Barra ao longo do tempo caso 4.

A Figura 10 a variação da matriz constitutiva. Os resultados NR e NRI são iguais.



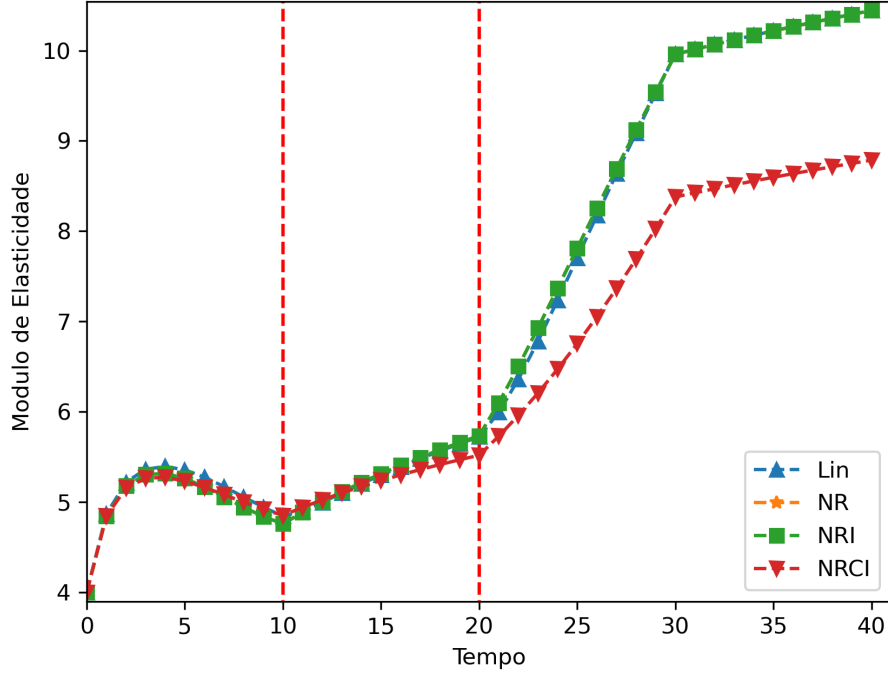


Figure 10: Variação da matriz constitutiva (módulo de elasticidade) ao longo do tempo caso 4.

### 3 Algoritmos de solução

#### 3.1 Newton Raphson (NR)

A equação do sistema de equações não linear,

$$\mathbf{K}_{n+1}(\mathbf{u}_{n+1})\mathbf{u}_{n+1} = \mathbf{F}_{n+1}^{ext} \quad (66)$$

Escrevendo o Resíduo,

$$\mathbf{R}_{n+1} = \mathbf{F}_{n+1}^{ext} - \mathbf{K}_{n+1}(\mathbf{u}_{n+1})\mathbf{u}_{n+1} \quad (67)$$

A matriz jacobiana é aproxima por,

$$\frac{\partial \mathbf{R}}{\partial \mathbf{u}} = \mathbf{J} \approx -\mathbf{K}_{n+1}(\mathbf{u}_{n+1}) \quad (68)$$

O algoritmo de solução é,

---

**Algorithm 1** Newton-Rapshon

---

```
 $i = 0$   
 $\mathbf{u}_{n+1}^i = \mathbf{u}_n$   
while Até convergir do  
   $\mathbf{R}_{n+1} = \mathbf{F}_{n+1}^{ext} - \mathbf{K}_{n+1}(\mathbf{u}_{n+1}^i)\mathbf{u}_{n+1}^i$   
   $\Delta\mathbf{u}_{n+1}^{i+1} = (\mathbf{K}_{n+1}(\mathbf{u}_{n+1}^i))^{-1} \mathbf{R}_{n+1}^i$   
   $\mathbf{u}_{n+1}^{i+1} = \Delta\mathbf{u}_{n+1}^{i+1} + \mathbf{u}_{n+1}^i$   
   $i = i + 1$   
end while
```

---

### 3.2 Newton Raphson incremental (NRI)

A equação do sistema de equações não linear,

$$\mathbf{K}_{n+1}(\mathbf{u}_{n+1})\mathbf{u}_{n+1} = \mathbf{F}_{n+1}^{ext} \quad (69)$$

Escrevendo o Resíduo,

$$\mathbf{R}_{n+1} = \mathbf{F}_{n+1}^{ext} - \mathbf{K}_{n+1}(\mathbf{u}_{n+1})\mathbf{u}_{n+1} \quad (70)$$

Considerando que  $\mathbf{u}_{n+1} = \mathbf{u}_n + \Delta\mathbf{u}_{n+1}$  pode-se escrever o resíduo

$$\mathbf{R}_{n+1} = \mathbf{F}_{n+1}^{ext} - \mathbf{K}_{n+1}(\mathbf{u}_{n+1})\Delta\mathbf{u}_{n+1} - \mathbf{K}_{n+1}(\mathbf{u}_{n+1})\mathbf{u}_n \quad (71)$$

A matriz jacobiana é aproxima por,

$$\frac{\partial \mathbf{R}}{\partial \Delta \mathbf{u}} = \mathbf{J} \approx -\mathbf{K}_{n+1}(\mathbf{u}_{n+1}) \quad (72)$$

O algoritmo de solução é,

---

**Algorithm 2** Newton-Rapshon incremental

---

```
 $i = 0$   
 $\Delta\mathbf{u}_{n+1}^i = 0$   
while até convergir do  
   $\mathbf{R}_{n+1} = \mathbf{F}_{n+1}^{ext} - \mathbf{K}_{n+1}(\mathbf{u}_{n+1}^i)\Delta\mathbf{u}_{n+1}^i - \mathbf{K}_{n+1}(\mathbf{u}_{n+1}^i)\mathbf{u}_n$   
   $\Delta\Delta\mathbf{u}_{n+1}^{i+1} = (\mathbf{K}_{n+1}(\mathbf{u}_{n+1}^i))^{-1} \mathbf{R}_{n+1}^i$   
   $\Delta\mathbf{u}_{n+1}^{i+1} = \Delta\Delta\mathbf{u}_{n+1}^{i+1} + \Delta\mathbf{u}_{n+1}^i$   
   $\mathbf{u}_{n+1}^{i+1} = \Delta\mathbf{u}_{n+1}^{i+1} + \mathbf{u}_n$   
   $i = i + 1$   
end while
```

---

### 3.3 Linear (Lin)

O algoritmo de solução é,

---

**Algorithm 3** Linear

---

$$\mathbf{u}_{n+1}^{i+1} = (\mathbf{K}_{n+1}(\mathbf{u}_{n+1}^i))^{-1} \mathbf{F}_{n+1}^{ext}$$

---

### 3.4 Newton Raphson com lei constitutiva incremental (NRCI)

A equação do sistema de equações não linear,

$$\mathbf{K}_{n+1}(\mathbf{u}_{n+1})\Delta\mathbf{u}_{n+1} = \Delta\mathbf{F}_{n+1}^{ext} \quad (73)$$

Escrevendo o Resíduo,

$$\mathbf{R}_{n+1} = \Delta\mathbf{F}_{n+1}^{ext} - \mathbf{K}_{n+1}(\mathbf{u}_{n+1})\Delta\mathbf{u}_{n+1} \quad (74)$$

A matriz jacobiana é aproxima por,

$$\frac{\partial\mathbf{R}}{\partial\Delta\mathbf{u}} = \mathbf{J} \approx -\mathbf{K}_{n+1}(\mathbf{u}_{n+1}) \quad (75)$$

O algoritmo de solução é,

---

**Algorithm 4** Newton-Raphson Lei constitutiva incremental

---

```
i = 0
 $\Delta\mathbf{u}_{n+1}^i = 0$ 
while até convergir do
   $\mathbf{R}_{n+1} = \mathbf{F}_{n+1}^{ext} - \mathbf{F}_n^{ext} - \mathbf{K}_{n+1}(\mathbf{u}_{n+1}^i)\Delta\mathbf{u}_{n+1}^i$ 
   $\Delta\Delta\mathbf{u}_{n+1}^{i+1} = (\mathbf{K}_{n+1}(\mathbf{u}_{n+1}^i))^{-1} \mathbf{R}_{n+1}^i$ 
   $\Delta\mathbf{u}_{n+1}^{i+1} = \Delta\Delta\mathbf{u}_{n+1}^{i+1} + \Delta\mathbf{u}_{n+1}^i$ 
   $\mathbf{u}_{n+1}^{i+1} = \Delta\mathbf{u}_{n+1}^{i+1} + \mathbf{u}_n$ 
  i = i + 1
end while
```

---

## 4

### 4.1 Matriz jacobina

A matriz Jacobina do vetor  $\mathbf{F}$  em relação ao vetor  $\mathbf{x}$  é dado por,

$$\mathbf{J}(\mathbf{F}, \mathbf{x}) = \begin{bmatrix} \frac{\partial F_1}{\partial x_1} & \cdots & \frac{\partial F_1}{\partial x_n} \\ \frac{\partial F_2}{\partial x_1} & \cdots & \frac{\partial F_2}{\partial x_n} \\ \frac{\partial F_n}{\partial x_1} & \cdots & \frac{\partial F_n}{\partial x_n} \end{bmatrix} \quad (76)$$

Considerando o vetor resíduo dado por,

$$\mathbf{R} = \mathbf{F}^{ext} - \mathbf{K}(\mathbf{u})\mathbf{u} = \begin{bmatrix} F_1^{ext} - (k_{11}u_1 + k_{12}u_2) \\ F_2^{ext} - (k_{21}u_1 + k_{22}u_2) \end{bmatrix} \quad (77)$$

onde os  $k_{ij}$  são funções de  $u$ .

A matriz jacobiana é dada por,

$$\mathbf{J}(\mathbf{R}, \mathbf{u}) = \begin{bmatrix} \frac{\partial R_1}{\partial u_1} & \frac{\partial R_1}{\partial u_2} \\ \frac{\partial R_2}{\partial u_1} & \frac{\partial R_2}{\partial u_2} \end{bmatrix} \quad (78)$$

É fácil verificar que a matriz jacobinada não é simétrica.

As derivadas são,

$$\frac{\partial R_1}{\partial u_1} = \frac{\partial(F_1^{ext} - k_{11}u_1 - k_{12}u_2)}{\partial u_1} \quad (79)$$

$$\frac{\partial R_1}{\partial u_2} = \frac{\partial(F_1^{ext} - k_{11}u_1 - k_{12}u_2)}{\partial u_2} \quad (80)$$

$$\frac{\partial R_2}{\partial u_1} = \frac{\partial(F_2^{ext} - k_{21}u_1 - k_{22}u_2)}{\partial u_1} \quad (81)$$

$$\frac{\partial R_2}{\partial u_2} = \frac{\partial(F_2^{ext} - k_{21}u_1 - k_{22}u_2)}{\partial u_2} \quad (82)$$

Considerando que  $F$  é independente de  $u$

$$\frac{\partial R_1}{\partial u_1} = -\frac{\partial(k_{11}u_1 + k_{12}u_2)}{\partial u_1} \quad (83)$$

$$\frac{\partial R_1}{\partial u_2} = -\frac{\partial(k_{11}u_1 + k_{12}u_2)}{\partial u_2} \quad (84)$$

$$\frac{\partial R_2}{\partial u_1} = -\frac{\partial(k_{21}u_1 + k_{22}u_2)}{\partial u_1} \quad (85)$$

$$\frac{\partial R_2}{\partial u_2} = -\frac{\partial(k_{21}u_1 + k_{22}u_2)}{\partial u_2} \quad (86)$$

Considerando que  $F$  é independente de  $u$

$$\frac{\partial R_1}{\partial u_1} = - \left( \frac{\partial k_{11}}{\partial u_1} u_1 + k_{11} + \frac{\partial k_{12}}{\partial u_1} u_2 \right) \quad (87)$$

$$\frac{\partial R_1}{\partial u_2} = - \left( \frac{\partial k_{11}}{\partial u_2} u_1 + k_{12} + \frac{\partial k_{12}}{\partial u_2} u_2 \right) \quad (88)$$

$$\frac{\partial R_2}{\partial u_1} = - \left( \frac{\partial k_{21}}{\partial u_1} u_1 + k_{21} + \frac{\partial k_{22}}{\partial u_1} u_2 \right) \quad (89)$$

$$\frac{\partial R_2}{\partial u_2} = - \left( \frac{\partial k_{21}}{\partial u_2} u_1 + k_{22} + \frac{\partial k_{22}}{\partial u_2} u_2 \right) \quad (90)$$

Matricialmente pode ser escrito como

$$\mathbf{J}(\mathbf{R}, \mathbf{u}) = \mathbf{dK} + \mathbf{K} \quad (91)$$

Onde a matriz  $\mathbf{dK}$  é dada por

$$\mathbf{dK} = \begin{bmatrix} \frac{\partial k_{11}}{\partial u_1} u_1 + \frac{\partial k_{12}}{\partial u_1} u_2 & \frac{\partial k_{11}}{\partial u_2} u_1 + \frac{\partial k_{12}}{\partial u_2} u_2 \\ \frac{\partial k_{21}}{\partial u_1} u_1 + \frac{\partial k_{22}}{\partial u_1} u_2 & \frac{\partial k_{21}}{\partial u_2} u_1 + \frac{\partial k_{22}}{\partial u_2} u_2 \end{bmatrix} \quad (92)$$

É fácil perceber que a matriz não é simétrica.

## 4.2 Relação da matriz constitutiva tangente e a matriz constitutiva

A definição da matriz constitutiva tangente é,

$$\frac{\partial \sigma}{\partial \varepsilon} = Dt \quad (93)$$

Considerando que tensão é dada em função da deformação  $\sigma(\varepsilon)$ , sua derivada em relação ao tempo é dada por,

$$\frac{\partial \sigma}{\partial t} = \frac{\partial \sigma}{\partial \varepsilon} \frac{\partial \varepsilon}{\partial t} \quad (94)$$

Se a tensão é dada por,

$$\sigma(\varepsilon) = D(\varepsilon)\varepsilon \quad (95)$$

A derivada em relação  $\varepsilon$  é,

$$\frac{\partial \sigma}{\partial \varepsilon} = \left( \frac{\partial D}{\partial \varepsilon} \varepsilon + D \right) = Dt \quad (96)$$

Logo a relação constitutiva incremental é dada por,

$$\dot{\sigma} = \left( \frac{\partial D}{\partial \varepsilon} \varepsilon + D \right) \dot{\varepsilon} \quad (97)$$

Se a tensão é dada por,

$$\sigma(t, \varepsilon) = D(t, \varepsilon) \varepsilon \quad (98)$$

A derivada em relação ao tempo é dada por,

$$\frac{\partial \sigma}{\partial t} = \frac{\partial D}{\partial t} \varepsilon + D \frac{\partial \varepsilon}{\partial t} \quad (99)$$

Considerando que  $D(f(t), g(t))$  a derivada em relação ao tempo é,

$$\frac{\partial D}{\partial t} = \frac{\partial D}{\partial t} \frac{\partial f}{\partial t} + \frac{\partial D}{\partial \varepsilon} \frac{\partial g}{\partial t} \quad (100)$$

como  $f(t) = t$  e  $g(t) = \varepsilon(t)$ , temos,

$$\frac{\partial D}{\partial t} = \frac{\partial D}{\partial t} + \frac{\partial D}{\partial \varepsilon} \frac{\partial \varepsilon}{\partial t} \quad (101)$$

Substituindo na (eq. 99),

$$\dot{\sigma} = \left( \frac{\partial D}{\partial t} + \frac{\partial D}{\partial \varepsilon} \dot{\varepsilon} \right) \varepsilon + D \dot{\varepsilon} \quad (102)$$

Rearranjando

$$\dot{\sigma} = \frac{\partial D}{\partial t} \varepsilon + \left( \frac{\partial D}{\partial \varepsilon} \varepsilon + D \right) \dot{\varepsilon} \quad (103)$$